

بررسی تأثیر قطر شمع در مدول و ضریب عکس العمل افقی بستر با درنظرگرفتن اثرات بار محوری و ناهمگنی خاک

علی قربانی*

یاسو بروای لاتلی (دانشجوی کارشناسی ارشد)

دانشکده‌ی هندسی، دانشگاه گیلان

در روابط تئوریک موجود، مدول عکس العمل افقی بستر شمع، که با استفاده از یک سری فنرهای کشسان خطی و غیرخطی مستقل تعیین می‌شود، مستقل از قطر شمع و یا تابعی خطی از آن در نظر گرفته می‌شود. اما در واقع، رفتار واقعی شمع بهویژه با سر آزاد، به دلیل بروز رفتار خمیری در خاک، از روابط به مراتب پیچیده‌تری پیروی می‌کند. در این پژوهش، اثر میزان قطر شمع در مدول عکس العمل افقی بستر شمع با استفاده از روش تفاضل محدود غیرخطی مورد بررسی قرار گرفته است. در تحلیل‌های انجام شده نیز اثرات ناهمگنی و بار محوری بررسی شده است، که انجام این امر در روابط تئوریک موجود ممکن نیست. نتایج حاصله، بیانگر افزایش مقدار مدول و کاهش ضریب عکس العمل بستر با افزایش قطر و تأثیرات قابل ملاحظه‌ی ناهمگنی و بار محوری در این روند هستند.

ghorbani@Guilan.ac.ir
63.yaser@Gmail.com

واژگان کلیدی: شمع نک، مدول عکس العمل افقی شمع، ضریب عکس العمل افقی شمع، قطر شمع، ناهمگنی، بار محوری.

۱. مقدمه

گرفته می‌شود و به کمک تحلیل المان مرزی پاسخ شمع تحت بار جانبی به دست می‌آید.^[۱-۶] این روش برای مسائل ساده‌ی که در آن ضریب کشسانی ثابت مانده است و یا به صورت خطی افزایش می‌یابد، کاربرد دارد. اما با این حال، استفاده از این روش در مسائل عملی به سادگی روش وینکلر نیست و به این دلیل روشی پر کاربرد نیست.

در واقع، با عنایت به بعد مدول عکس العمل افقی بستر (از جنس تنش بر واحد طول) می‌توان دریافت که این مدول، مفهومی انتزاعی است که بر پایه مقاہیم ریاضی توسعه یافته است و جزء خواص ثابت خاک نیست. همان‌طور که در شکل ۱ نشان داده شده است، مدول عکس العمل بستر در یک عمق مشخص برابر با شیب خطی است که نقطه‌ی واقع بر منحنی $y - p$ در عمق موردنظر را به مبدأ وصل می‌کند. شبیه این خط، که مدول سکانت نامیده می‌شود، به عوامل گوناگونی نظیر قطر شمع، نوع بارگذاری، ناهمگنی و نسبت پواسون بستگی دارد. همچنین، مقدار آن علاوه بر خصوصیات مکانیکی خاک، شمع، و شرایط بارگذاری، تابعی از تغییرشکل جانبی و نیز عمق از سطح زمین است.

همچنین، مطابق شکل ۲، به ازاء تغییرشکل‌های کوچک، مدول عکس العمل بستر ثابت است؛ ولی برای تغییرشکل‌های بزرگ‌تر، مقدار آن تغییر می‌کند و با افزایش میزان تغییرشکل، کاهش می‌یابد.

در سال‌های اخیر، برخی مطالعات آزمایشگاهی برای بررسی تغییرات مدول و ضریب عکس العمل صورت پذیرفته است، که از آن جمله می‌توان به کارهای

موضوع شمع تحت بار جانبی در سازه‌های دریابی از ابتدا مورد توجه بسیاری از پژوهشگران بوده است. بارهای جانبی ناشی از باد و امواج، مهم‌ترین عامل در طراحی چنین سازه‌هایی است. به طور کلی در طراحی شمع تحت بار جانبی، دو معیار باید ارضاء شوند که عبارت‌اند از: (الف) شمع، ضریب اطمینان کافی در برابر بیشینه‌ی بار جانبی وارد را داشته باشد، و (ب) تغییرمکان شمع تحت بار سرویسی در محدوده‌ی تغییرشکل مجاز روسازه باشد.^[۷]

در مهندسی ژوتکنیک روش‌های مختلفی برای طراحی شمع‌ها تحت بار جانبی وجود دارند، که قدیمی‌ترین و در عین حال ساده‌ترین روش موجود، استفاده از یک تیر کشسان نازک با بارگذاری عرضی متکی بر یک سری فنرهای کشسان خطی است.^[۸-۱۰] این مدل که به مدل وینکلر معروف است، به دلیل سادگی در انجام محاسبات در مقایسه با سایر مدل‌ها کاربرد گسترده‌ی دارد. اما در عین حال، این روش به دلیل برخورداری از فرضیات ساده‌شونده، دارای مشکلاتی در رابطه با تعیین مدول عکس العمل افقی بستر (k_h) است. لذا برای حل این مشکل در روش موسوم به روش $y - p$ ، یک سری فنرهای غیرخطی جایگزین فنرهای خطی می‌شوند.^[۱۱-۱۴]

در روش کشسان پیوسته، خاک به عنوان یک محیط کشسان پیوسته در نظر

* نویسنده مسئول
تاریخ: دریافت ۱۹/۱/۱۳۹۱، اصلاحیه ۱۳۹۱/۸/۲۹، پذیرش ۲۰/۹/۱۳۹۱.

عمق‌های زیاد، به مراتب بیش از مقدار واقعی است. و به این دلیل راه حلی راه شد که بر اساس آن روش $y - p$ با یک ضریب پیشنهادی اصلاح شود.

از جمله فرضیه‌های موجود در زمینه‌ی ارتباط بین مدول عکس العمل بستر و قطر شمع می‌توان به فرضیه‌های ترازاقی و لینگ اشاره کرد. بر اساس فرضیه‌ی ترازاقی ضربی عکس العمل بستر به صورت خطی با قطر تغییر کرده و در نتیجه مدول عکس العمل بستر مستقل از قطر شمع است.^[۱۲] همچنین، بنا بر فرضیه‌ی لینگ، مدول عکس العمل بستر به صورت خطی با افزایش قطر افزایش می‌یابد.^[۱۳] پژوهشگرانی نیز در سال ۲۰۰۳ بر پایه‌ی دو فرضیه‌ی مورد اشاره، اثر قطر شمع در مدول عکس العمل بستر را با استفاده از نتایج تست‌های بارگذاری ضربه‌یی مورد بررسی قرار دادند.^[۱۴] بدین منظور، ۴ شمع با قطرهای مختلف مورد آزمایش قرار گرفتند. نتایج پژوهش مذکور نشان داد که بسامدهای طبیعی محاسبه شده با روش ترازاقی، تطبیق خوبی با مقادیر اندازه‌گیری شده داشتند. از طرف دیگر، نسبت میرانی سیستم با تغییر قطر تغییر کرده و از ۳٪ برای شمع‌های با قطر ۵۰ متر تا ۲۵٪ برای شمع‌های با قطر ۱/۲ متر تغییر می‌کند.^[۱۵] عدم اتفاق نظر در مورد استفاده از یکی از دو فرضیه‌ی مورد اشاره و دقت متفاوت آنها در مسائل عملی، لزوم پژوهش بیشتر در این زمینه را نامانع می‌سازد.

۲. فرضیات و اهداف این پژوهش

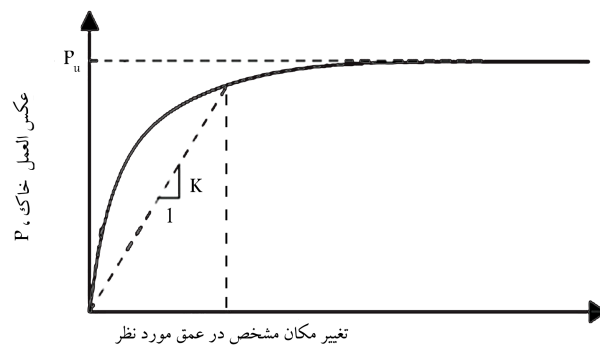
به لحاظ توری، رابطه‌ی دیفرانسیل خمین ارجاعی حاکم بر تیر یا صفحه‌ی واقع بر مستر کشسان، به صورت رابطه‌ی ۱ است.

$$\frac{d^r \left(EI \frac{d^r w}{dx^r} \right)}{dx^r} = -kw - p(x) \quad (1)$$

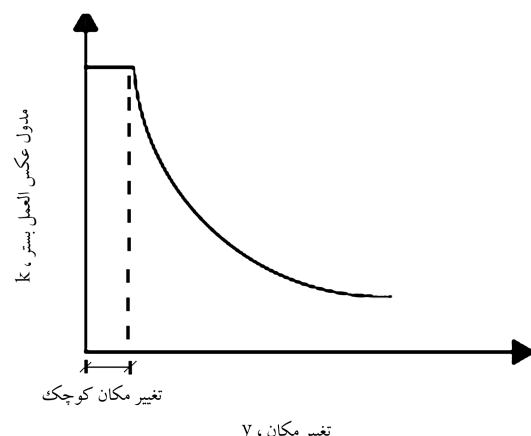
در این رابطه، ارتباط بین پارامتر k (پارامتر مربوط به خاک) و همچنین EI پارامتر مربوط به سختی خمی شمع به روشنی مشخص است. ملاحظه می‌شود که رابطه‌ی بین k و قطر شمع در واقع رابطه‌ی بین پارامترهای k و EI در رابطه‌ی ۱ است، که درک این ارتباط از طریق بررسی اندرکنش مابین خاک و شمع با کمک مدل تقاضل محدود ارائه شده در پژوهش انجام گشود.

چنانچه پیشتر به آن اشاره شد، قطر شمع یکی از عوامل مؤثر در مقدار عکس العمل بستر است. تأثیر این پارامتر، به ویژه در مورد شمع های با سر آزاد که امکان جایجایی برای سر شمع وجود دارد، بیشتر نمایان می شود. درین قبیل شمع ها، به دلیل بروز رفتار خمیری در خاک (به ویژه در سر شمع) و مقدار قطر شمع تأثیر بسزایی در معنی عکس العمل افقی بستر مدول y - p داشت. لذا در این پژوهش، روند تغییرات مدول عکس العمل بستر شمع با تغییرات قطر شمع، در سطح تغییر شکل های کوچک و بزرگ مورد بررسی قرار گرفته است. بدین منظور با انجام تحلیل های اولیه و بررسی نیروهای حاصله به ازاء تغییر مکان های اعمالی مختلف به سر شمع، تغییر مکان جانی به میزان ۳ سانتی متر به سر شمع به عنوان مقدار مینا جهت ایجاد نیروهای کمتر از بار نهایی^۶ و تغییر مکان جانی ۵ سانتی متر به عنوان مقدار مینا جهت ایجاد نیروی برابر با بار نهایی تعیین

همچنین تأثیر بار محوری و ناهمگنی خاک در نحوه تغییرات مدلول و ضریب عکس العمل بستر با افزایش قطر شمع مطالعه گردید و در نهایت، نتایج حاصله



[١] شکار حکم نگه تعیین مدها عکس‌العماست دیگر عوام را مختلف.



شكل ٢ . تغييرات مدول عكس العمل بستر با تغيير مكان . [١]

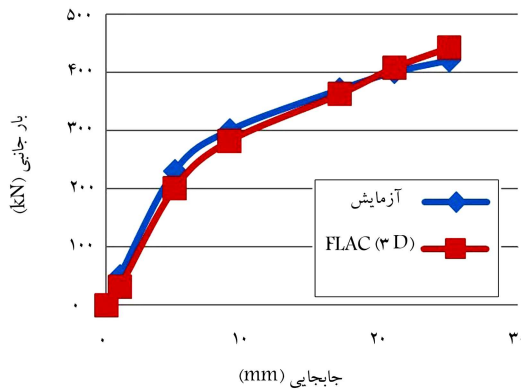
آزمایشگاهی انجام شده در سال ۲۰۰۶ اشاره کرد.^[۹] که در آن با انجام تست های سانتریفیوژ مدل سازی شمع تحت بارگذاری استاتیکی و دینامیکی در خاک های مستحلب دار، مدول عکس العمل افقی دینامیکی بستر شمع مورد بررسی قرار گرفته است. مطالعات دیگری نیز در سال ۲۰۰۹ با انجام تست های بارگذاری جانبی بر روی شمع ابرباربندی شده انجام پذیرفته است.^[۱۰] که در آن، به منظور تفسیر نتایج آزمایشگاهی از روش های پیشنهادی بالمر^۱، تامپسون^۲ و دیویس سون^۳ برای تعیین مدول و ضریب عکس العمل بستر استفاده شده است و نتایج حاصله نشان داد که در عمق های کمتر از ۴ متر، پیش بینی روش دیویس سون محافظه کارانه و مقدار واقعی ضریب عکس العمل، به مرتب بین از مقدار حاصل از این روش است. همچنین، برای عمق های بیش از ۴ متر، کلیه روش ها مقداری بیش از واقع ارائه داده اند.^[۱۱] پژوهشگرانی دیگر در سال ۲۰۰۶، بر اساس نتایج تست های نفوذ استاندارد^۴ SPT و بارگذاری صفحه PLT^۵ بر روی خاک های شنی آبرفت تهران، به ارائه نمودارهایی برای برقراری ارتباط بین عدد SPT استاندارد و مدول عکس العمل بستر پرداختند.^[۱۲] از طرف دیگر، در سال های اخیر برخی پژوهشگران مطالعاتی را با استفاده از مدل سازی عددی انجام داده اند که از آن جمله می توان به پژوهش هایی در سال ۲۰۰۴ اشاره کرد که در مورد روش های متداول طراحی و فرآیندهایی به کار رفته در آن هاست.^[۱۳] در پژوهش های مذکور با استفاده از روش های تحلیلی و اجزاء محدود سه بعدی به ارزیابی اثرات قطر شمع در سختی خاک - شمع پرداخته شده است و نتایج حاصله از آنها نشان داده است که مدول بدست آمده از روش y - p در

جدول ۱. مشخصات خاک در صحبت سنجی مدل عددی.^[۶]

مدول بالک (MPa)	مدول برشی (MPa)	چسبندگی (kPa)	عمق لایه (m)
۴۴,۰۴	۹,۴۵	۱۰۵	۵,۵-۰
۴۴,۴	۹,۴۵	۱۰۵	۱۲,۸-۵,۵
۶۸,۳۶	۱۴,۶۷	۱۶۳	۲۰-۱۲,۸

جدول ۲. مشخصات شمع در صحبت سنجی مدل عددی.^[۶]

نوع شمع	وزن مخصوص (Kg/m³)	مدول برشی (GPa)	مدول بالک (GPa)
بتنی (دایره‌بی) ۲۵	۱۰,۰۷	۱۳,۴۳	



شکل ۴. مقایسه‌ی بین نتایج تحلیل عددی و آزمایش بارگذاری شمع انجام شده در منطقه‌ی هouston.

جدول ۳. مشخصات خاک استفاده شده در تحلیل پارامتریک.

وزن مخصوص (Kg/m³)	چسبندگی زهکشی نشده (KPa)	مدول برشی (MPa)	مدول بالک (MPa)
۸۳,۳۳	۱۷,۸۶	۵	۱۵۰

جدول ۴. مشخصات شمع استفاده شده در تحلیل پارامتریک.

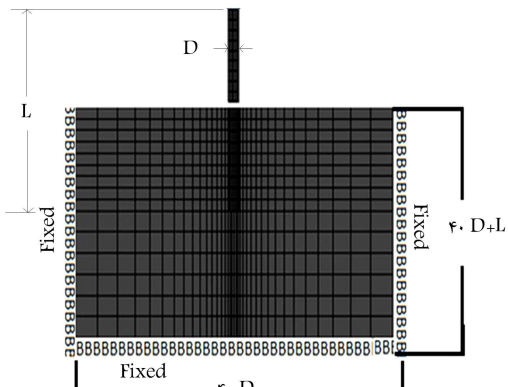
نوع شمع	وزن مخصوص (Kg/m³)	مدول برشی (GPa)	مدول بالک (GPa)
بتنی (دایره‌بی) ۲۵	۱۰,۰۴	۱۳,۹	

۵. مطالعه‌ی پارامتری و تفسیر نتایج

در مطالعه‌ی پارامتری، ۶ شمع مختلف با طول ثابت ۲۰ متر و قطرهای ۰,۵, ۰,۶, ۰,۷, ۰,۸, ۱,۰, ۱,۵ و ۲ متر مدل سازی شده‌اند. خاک مورد استفاده در این بررسی، رس متوسط است. مشخصات خاک و شمع به ترتیب در جدول‌های ۳ و ۴ آمده است. مدل کشسانی خاک بر اساس رابطه‌ی ۲ با ضریب چسبندگی زهکشی نشده‌ی خاک (C_u) مرتبط است:^[۱۶]

$$E = \alpha C_u \quad (۲)$$

همچنین، در این رابطه مقدار α بین ۳۰۰ و ۱۵۰ پیشنهاد شده است؛ که در این پژوهش، مقدار آن برابر با ۱۰۰ در نظر گرفته شده است.



شکل ۳. هندسه‌ی مدل خاک و شمع.

با روابط و روش‌های موجود مقایسه و میران دقت و کارایی آنها ارزیابی شده است.

۳. مدل‌سازی شمع و خاک با استفاده از FLAC-۳D

نحوه‌ی مدل‌سازی شمع و خاک در محیط نرم‌افزار FLAC-۳D در شکل ۳ نشان داده شده است، که در آن D قطر شمع و L طول شمع هستند. به علت تقارن محوری فقط نیمی از خاک و شمع مدل شده است.

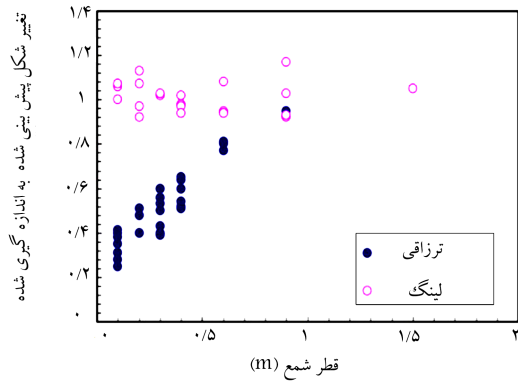
برای افزایش دقت تحلیل، شبکه‌بندی خاک در ناحیه‌ی نزدیک به شمع ریزتر از نواحی دیگر است. در این پژوهش، هدف بررسی پاسخ جانبه‌ی بر روی شمع با سر آزاد است و به این دلیل سر شمع تا ۱۰ سانتی‌متر بالاتر از سطح زمین امتداد داده شده است. بارگذاری مدل با اعمال تغییرمکان افقی ثابت به میران ۳ سانتی‌متر به سر شمع انجام می‌شود.

برای مدل‌سازی رفتار خاک از مدل رفتاری کشسان - خمیری کامل و سطح تسلیم موهر - کولمب استفاده شده است، که به دلیل سادگی و در دسترس بودن پارامترهای آن یکی از پرکاربردترین مدل‌های رفتاری برای مدل‌سازی رفتار واقعی خاک است. این تذکر لازم است که معیار سطح گسیختگی موهر - کولمب فقط به تنش‌های اصلی بیشینه و کمینه (σ_1, σ_3) بستگی دارد و مستقل از مقدار تنش میانی (σ_2) است.

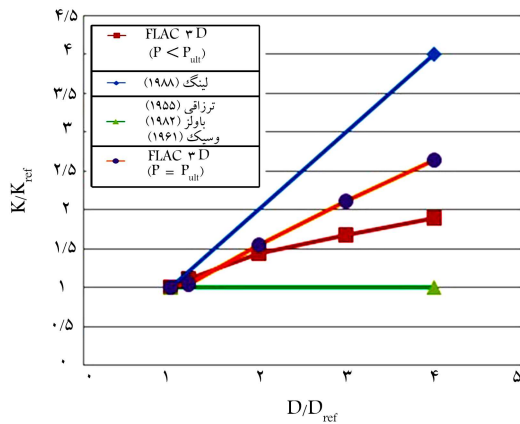
۴. صحبت سنجی مدل

به منظور صحبت سنجی مدل ساخته شده، از نتایج یک آزمایش بارگذاری جانبه‌ی شمع در مقیاس کامل، که در منطقه‌ی هouston^۷ واقع در تگزاس آمریکا انجام شده، استفاده شده است.^[۶] این آزمایش بر روی شمع با قطر ۷۶۲ میلی‌متر و طول ۱۲,۸ متر انجام شده و خاک محل از نوع رس با وزن مخصوص خشک ۱۹۰۰ و وزن مخصوص اشباع ۱۹۹۰ کیلوگرم بر متر مکعب است. سطح آب زیرزمینی نیز در عمق ۵,۵ متری از سطح زمین قرار داشته است. مشخصات لایه‌های خاک محل از این آزمایش شده به ترتیب در جدول‌های ۱ و ۲ آمده است.

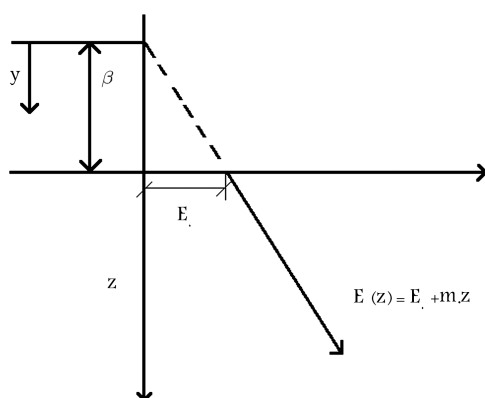
در شکل ۴، نتایج حاصل از مدل‌سازی عددی و آزمایش شمع در محل مقایسه شده است. تطابق بسیار خوب نشان داده شده در این شکل، بیانگر صحبت مدل‌سازی شمع با سرآزاد تحت بار جانبی است.



شکل ۵. مقایسه‌ی نسبت تغییرشکل پیش‌بینی شده به اندازه‌ی گرفته شده.^[۱۲]



شکل ۶. تأثیر قطر شمع در مدل عکس العمل بستر و مقایسه‌ی آن با روابط موجود.



شکل ۷. نیم فضای کشسانی ناهمگن در نظر گرفته شده برای خاک در تحلیل‌های پارامتریک انجام شده.

عددی لحاظ شده است:

$$E_s = E_0 + mz \quad (5)$$

در این رابطه، E_0 مدل کشسانی در سطح نیم فضای ناهمگن و m شیب خط افزایش مدل کشسانی است.

نحوه‌ی تغییرات مدل کشسانی خاک در عمق، در روند تغییرات مدل عکس العمل بستر شمع همراه با افزایش قطر شمع تأثیرگذار است و نادیده‌گرفتن اثر آن منجر به خطا خواهد شد. بنابراین با درنظرگرفتن فاکتور β به صورت $\frac{E_0}{m} = \beta$ ، اثر ناشی از تغییرات

۱.۵. بررسی تأثیر قطر شمع در مدل عکس العمل بستر

در پژوهشی در سال ۱۹۶۱^[۱۳]، با استفاده از روش وینکلر و با فرض محیط کشسان پیوسته برای خاک اطراف شمع، رابطه‌ی ۳ برای محاسبه‌ی مدل عکس العمل بستر شمع ارائه شده است:^[۱۷]

$$k = \frac{0.65 E_s}{(1 - \nu_s^2)} \left[\frac{E_s D^4}{E_p I_p} \right]^{1/12} \quad (3)$$

که در آن، k مدل عکس العمل افقی بستر، E_s مدل کشسانی خاک، ν_s ضریب پواسون خاک، D قطر شمع و $E_p I_p$ سختی خمشی شمع است.

بنابر پیشنهاد باولز^۸ مقدار عددی رابطه‌ی $\left[\frac{E_s D^4}{E_p I_p} \right]^{1/12} \times 0.65$ در بیشتر موارد، تقریباً برابر با ۱ است. لذا برای محاسبه‌ی مدل عکس العمل بستر شمع رابطه‌ی ۴ را پیشنهاد شده است:

$$k = \frac{E_s}{(1 - \nu_s^2)} \quad (4)$$

از طرف دیگر، بنا بر فرضیه‌ی ترزاچی، تغییرات قطر شمع تأثیری در مدل عکس العمل بستر شمع ندارد.^[۱۳] لینگ با استفاده از مدل هذلولی ارائه شده توسط کارترا^۹ و انجام آنالیز برگشتی، پاسخ شمع تحت بار جانبی را با کمک آزمایش‌های صحراوی مورد بررسی قرار داد. نتایج این بررسی در شکل ۵ نشان داده شده است، که در آن نسبت تغییرشکل پیش‌بینی شده به تغییرشکل واقعی سر شمع برای دو حالت استفاده از فرضیه‌ی ترزاچی و لینگ با یکدیگر مقایسه شده است.

ملحوظه‌ی می‌شود که فرضیه‌ی ترزاچی، در قطرهای کمتر از ۱ متر، تغییرشکل سر شمع را بسیار کمتر از مقدار واقعی آن ارائه می‌دهد. همچنین، برای شمعهای با قطر بیش از ۱ متر، استفاده از فرضیه‌ی ترزاچی منجر به تغییرشکل‌های بیش از مقدار واقعی آن در سر شمع خواهد شد. لینگ نشان داد که با فرض خطی درنظرگرفتن رابطه‌ی بین مدل عکس العمل بستر شمع و قطر آن، تغییرشکل‌های پیش‌بینی شده تا حد زیادی به مقدار واقعی آن نزدیک خواهند شد.^[۱۴]

در شکل ۶، نتایج حاصل از مدل‌سازی انجام شده در این پژوهش ارائه و با نتایج روش‌های ترزاچی و لینگ مقایسه شده است. در این شکل، قطر $0.5 / 5$ متر به عنوان قطر مبنا (D_{ref}) و مدل عکس العمل آن به عنوان مدل عکس العمل مبنا (k_{ref}) در نظر گرفته شده و قطر سایر شمعها و مدل عکس العمل به دست آمده از آن‌ها به ترتیب بر قطر مبنا و مدل عکس العمل مبنا تقسیم شده است. همان‌طور که در این شکل نشان داده شده است، مدل عکس العمل بستر با افزایش قطر، افزایش می‌یابد. همچنین میراث افزایش مدل عکس العمل بستر شمع با افزایش قطر در تغییرمکان‌های بیشتر از مقاومت نهایی خاک، بیشتر است. از طرف دیگر ملاحظه می‌شود که نتایج حاصله از مدل عددی به کار گرفته شده در این پژوهش، بسیار متفاوت با روش‌های مبتنی بر فرضیات ترزاچی و لینگ است. در واقع، فرضیه‌ی ترزاچی، مقدار مدل عکس العمل بستر را کمتر از مقدار واقعی و فرضیه‌ی لینگ، مقدار آن را بیش از مقدار واقعی به دست می‌دهد.

۲.۵. تأثیر قطر شمع بر مدل عکس العمل بستر با درنظرگرفتن

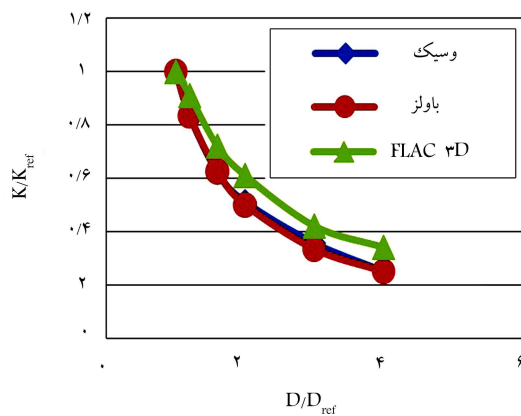
ناهمگنی خاک

در این پژوهش، به منظور درنظرگرفتن اثر ناهمگنی خاک فرض می‌شود که مدل کشسانی همانند شکل ۷ با افزایش عمق افزایش یافته که با رابطه‌ی ۵ در مدل‌سازی

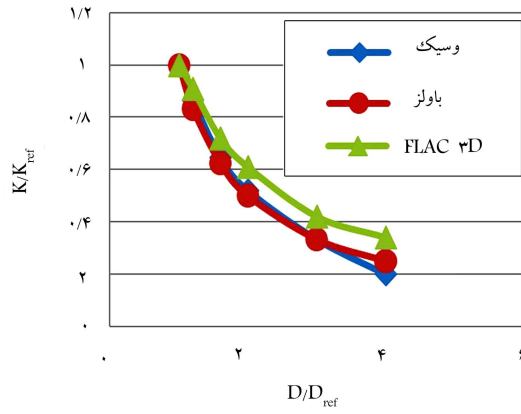
به دلیل پیچیدگی و دشواری‌های موجود در مسئله‌ی تنش - تغییر شکل در نیم فضای ناهمگن، روابط فراگیر و گستردگی برای تعیین ضریب عکس العمل بستر موجود نیست. یک روش متداول برای حل این مشکل، استفاده از مدول کشسانی معادل (E_e) برای درنظرگرفتن اثر ناهمگنی است. روش‌های متعددی جهت تعیین مدول کشسانی معادل نیم فضای ناهمگن پیشنهاد شده است. در این پژوهش فرض می‌شود که مدول کشسانی معادل از رابطه‌ی $E_e = m(D + \beta)$ به دست آید.^[۱۹, ۲۰]

$$E_e = m(D + \beta) \quad (6)$$

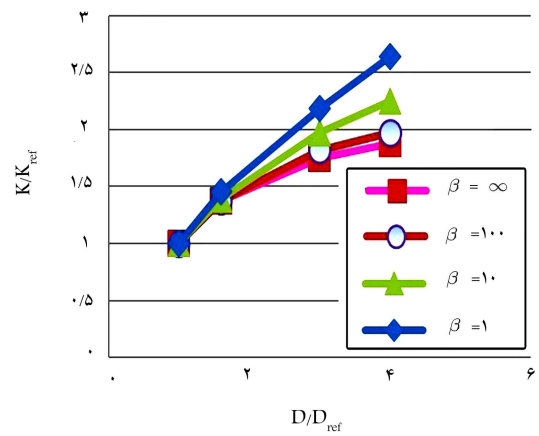
در این رابطه، D قطر شمع است. مطابق این رابطه، مدول کشسانی در سطح برابر با مقدار ثابت است و با افزایش عمق، به طور خطی افزایش می‌یابد. چنانچه پیش‌تر به آن اشاره شد، آنکه افزایش مدول کشسانی، علاوه بر عمق، تابع قطر شمع است و اثر ناهمگنی با درنظرگرفتن این پارامتر (E_e) حاصل می‌شود. به منظور به دست آوردن تأثیر قطر شمع در ضریب عکس العمل بستر و همچنین انجام مقایسه، نتایج حاصل از مدل‌سازی عددی برای درجات مختلف ناهمگنی خاک به همراه راه حل‌های وسیک و باولز در شکل‌های ۱۰ الی ۱۳ ارائه شده‌اند. همان‌طور که در این شکل‌ها مشاهده می‌شود، به ازاء کلیه‌ی درجات ناهمگنی و در تمامی روش‌های موجود و همچنین روش حاضر، مقدار ضریب عکس العمل بستر با افزایش قطر کاهش می‌یابد. فقط در حالت $\beta = 1$ در روش وسیک، نمودار روند غیرمعمولی را طی می‌کند. به طوری که ضریب عکس العمل بستر همراه با افزایش



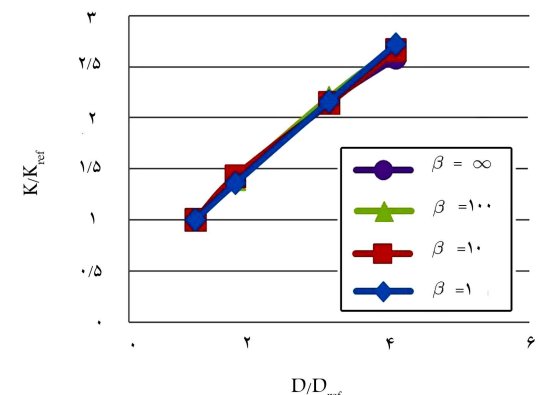
شکل ۱۰. روند تغییرات ضریب عکس العمل بستر در مقابل قطر شمع برای حالت $\beta = \infty$.



شکل ۱۱. روند تغییرات ضریب عکس العمل بستر در مقابل قطر شمع برای حالت $\beta = 100$.



شکل ۸. تغییرات مدول عکس العمل بستر همراه با افزایش قطر در سطح تغییر مکان‌های کمتر از مقاومت نهایی خاک با درنظرگرفتن درجات مختلف ناهمگنی خاک.



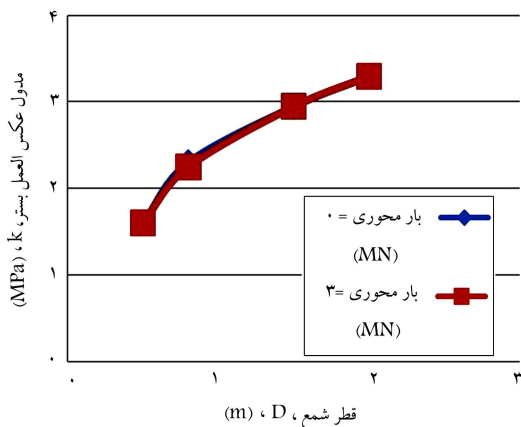
شکل ۹. تغییرات مدول عکس العمل بستر همراه با افزایش قطر در سطح تغییر مکان‌های بیشتر از مقاومت نهایی خاک با درنظرگرفتن درجات مختلف ناهمگنی خاک. مدول کشسانی با افزایش عمق مورد بررسی قرار گرفته است. بدین منظور، میزان تغییرات مقدار مدول عکس العمل بستر شمع با قطر شمع، به ازاء ۴ مقدار مختلف β ، ($\beta = 1, 10, 100, \infty$)، محاسبه شده و نتایج حاصله، در شکل‌های ۸ و ۹ ارائه شده‌اند.

طبق شکل ۸ ملاحظه می‌شود که در تغییر شکل‌های کمتر از مقاومت نهایی خاک، ناهمگنی خاک عاملی تاثیرگذار است و کاهش مقدار β یعنی افزایش میزان ناهمگنی خاک، منجر به افزایش مدول عکس العمل بستر شمع می‌شود. حال آنکه با توجه به شکل ۹، به ازاء تغییر شکل‌های بیشتر از مقاومت نهایی خاک، ناهمگنی خاک پارامتر چندان تعیین‌کننده‌ی نیست و تغییرات آن، تأثیر بسزایی در روند تغییرات مدول عکس العمل بستر شمع با افزایش قطر ندارد.

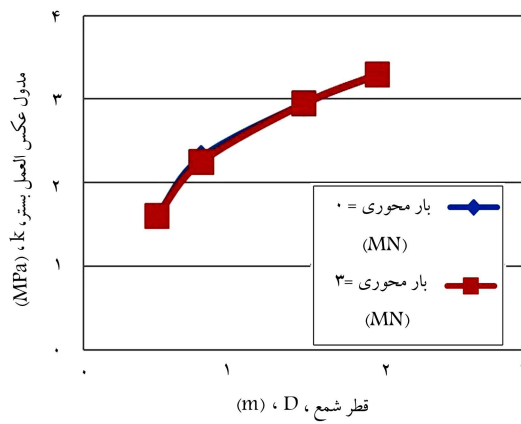
۳.۵. تأثیر قطر شمع در ضریب عکس العمل بستر با درنظرگرفتن ناهمگنی خاک

ضریب عکس العمل بستر از تقسیم مدول عکس العمل بستر بر قطر شمع به دست می‌آید. از طرف دیگر، همان‌طور که پیشتر مشاهده شد، مدول عکس العمل تابع غیر صریح از قطر است. بنابراین، ارتباط مشخص از پیش تعیین‌شده‌ی بین این ضریب و قطر وجود ندارد. در ادامه، با استفاده از نتایج تحلیل‌های عددی، روند تغییرات این ضریب نسبت به قطر شمع مورد بررسی قرار گرفته است.

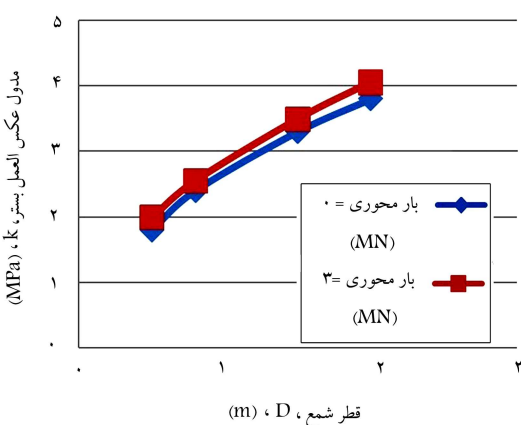
ناهیگنی کم)، بار محوری تأثیری بر مدول عکس العمل افقی بستر نخواهد داشت؛ ولی با توجه به شکل های ۱۶ و ۱۷، در مقادیر پایین β (درجات بالای ناهیگنی)، بار محوری تأثیرگذار است و باعث افزایش مدول عکس العمل افقی بستر می شود. به طورکلی یکی از مهمترین نوآوری های این پژوهش بررسی توانان بار محوری و بار جانبی بر مدول عکس العمل جانبی است، که نتایج مدل سازی نشان دهنده تأثیرات مهم این موضوع در خاک های ناهیگن نسبت به خاک های همگن است. از نظر فیزیکی شاید بتوان این مسئله را به این صورت توجیه کرد که در خاک های



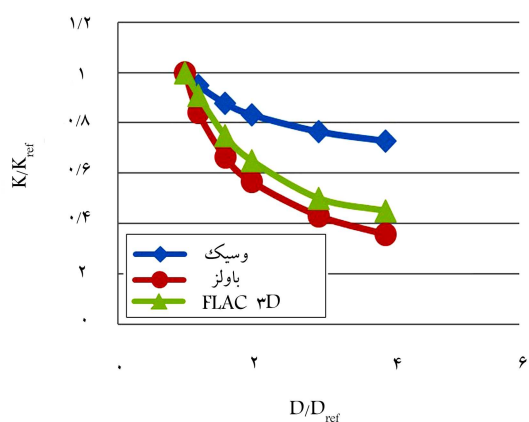
شکل ۱۴. اثر بار محوری بر مدول عکس العمل بستر برای حالت $\beta = \infty$.



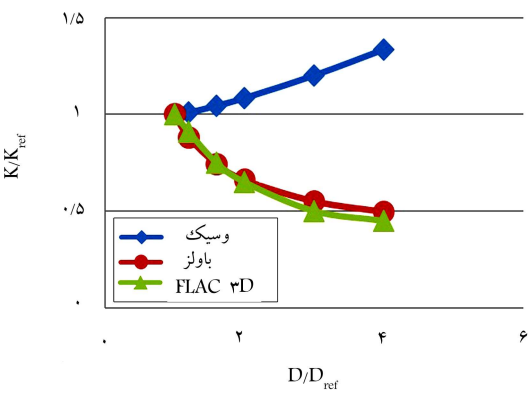
شکل ۱۵. اثر بار محوری بر مدول عکس العمل بستر برای حالت $\beta = 100$.



شکل ۱۶. اثر بار محوری بر مدول عکس العمل بستر برای حالت $\beta = 10$.



شکل ۱۲. روند تغییرات ضریب عکس العمل بستر در مقابل قطر شمع برای حالت $\beta = 10$.



شکل ۱۳. روند تغییرات ضریب عکس العمل بستر در مقابل قطر شمع برای حالت $\beta = 1$.

قطر شمع، افزایش می یابد. ریشه ای این خط را نیز می توان در قسمت دوم معادله $\text{وسيك} = \left[\frac{E_s D^4}{E_p I_p} \right]^{1/12}$ و تأثیر هم زمان قطر و مدول کشسانی معادل در پارامتر مورد اشاره بیان کرد.

به علاوه، چنانچه در شکل های ۱۲ الی ۱۳ به خوبی نشان داده شده است، به ازاء مقادیر بزرگ تر β ، راه حل عددی به کار گرفته شده در این پژوهش، مقادیر بزرگ تری نسبت به روش های وسیک و باولز آزاده می دهد. حال آنکه، به ازاء مقادیر کوچک β ، این روند معکوس می شود؛ به طوری که مقادیر حاصل از حل های وسیک و باولز بیش از مقادیر حل عددی شده است.

۴.۵. اثر بار محوری بر مدول عکس العمل بستر

معمولاً شمع ها به منظور انتقال تأم بارهای محوری و جانبی طراحی می شوند. پس در بررسی رفتار شمع تحت بار جانبی نادیده گرفتن بارهای محوری می تواند باعث خطا در تحلیل شود. در این پژوهش، میزان تأثیر بار محوری اعمال شده بر سر شمع، به عنوان یکی دیگر از عوامل مؤثر در روند تغییرات مدول عکس العمل بستر مورد بررسی قرار گرفته است. بدین منظور کلیه تحلیل های انجام شده با درنظر گرفتن بار محوری ۳ مگاپاسکال در سر شمع تکرار و روند تغییرات مدول عکس العمل بستر با افزایش قطر در نز ناهیگنی های مختلف مجدد بررسی شده است. نتایج حاصل از این بررسی در شکل های ۱۴ الی ۱۷ ارائه شده اند.

چنانچه در شکل های ۱۴ و ۱۵ مشاهده می شود، به ازاء مقادیر بالای β (درجات

اثرات ناشی از وجود بار محوری و ناهمگنی خاک بر روند فوق مورد بررسی قرار گرفت و با نتایج روش‌های مرسوم مقایسه شد. خلاصه‌ی نتایج به دست آمده به این شرح است:

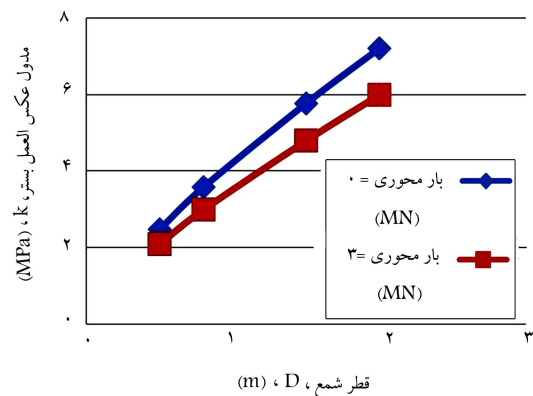
- برخلاف پیشنهاد ترازاقی، وسیک، و باولز مبنی بر مستقل بودن مدول عکس‌العمل بستر از قطر شمع، با افزایش قطر شمع مدول عکس‌العمل افقی بستر نیز افزایش می‌یابد.
- تأثیر قطر شمع در نزخ افزایش مدول عکس‌العمل بستر در تغییرشکل‌های بزرگ (تحت بار نهایی و یا بیش از آن) به مراتب بیشتر از حالتی است که تغییرشکل‌های کوچک (در محدوده‌ی کمتر از بار نهایی) باشند.

تغییرات مدول عکس‌العمل بستر بشدت تابع ناهمگنی خاک است و با افزایش درجه‌ی ناهمگنی، نزخ افزایش مدول عکس‌العمل بستر همراه با افزایش قطر شمع افزایش می‌یابد.

در سطح تغییرمکان‌های کوچک (در محدوده‌ی کمتر از مقاومت نهایی خاک)، ناهمگنی تأثیر زیادی در روند افزایش مدول عکس‌العمل بستر با افزایش قطر دارد. در صورتی که در محدوده‌ی تغییرمکان‌های بزرگ (تحت بار نهایی و یا بیش از آن) اثر ناهمگنی قابل چشم‌پوشی است.

با افزایش قطر شمع مقدار ضریب عکس‌العمل بستر شمع کاهش پیدا می‌کند. همچنین نزخ تغییرات ضریب عکس‌العمل بستر با افزایش درجه‌ی ناهمگنی روند کاهشی دارد.

در خاک همگن بار محوری تأثیری در روند تغییرات مدول عکس‌العمل بستر ندارد، ولی با افزایش ناهمگنی تأثیر آن بیشتر و باعث افزایش مدول عکس‌العمل بستر می‌شود.



شکل ۱۷. اثر بار محوری بر مدول عکس‌العمل بستر برای حالت $\beta = 1$.

همگن به دلیل سختی یکسان در عمق لایه، تغییرات در بار محوری تأثیر کمتری در جابجایی قائم دارد و در نتیجه تأثیر آن در جابجایی افقی نیز کمتر است و لذا مدول عکس‌العمل بستر نیز تغییر چندانی پیدا نمی‌کند.

۶. نتیجه‌گیری

در این پژوهش با استفاده از نرم تفاضل محدود FLAC-3D، یک مدل عددی جهت تحلیل شمع تحت تأثیر بار جانبی ساخته شد که صحت مدل با استفاده از آزمایش برجای شمع در منطقه‌ی هوستون واقع در تگزاس آمریکا مورد ارزیابی قرار گرفت و سازگاری بسیار مناسبی بین نتایج مدل عددی و آزمایش حاصل شد. در ادامه، روند تغییرات مدول و ضریب عکس‌العمل بستر با افزایش قطر شمع و همچنین

پابلوشت‌ها

- Palmer
- Thompson
- Davisson
- standard penetration test
- plate load test
- P_{ult}
- Houston
- Bowles
- Carter

منابع (References)

- Poulos, H.G. and Davis, E.H., *Pile Foundation Analysis and Design*, John Wiley, New York (1980).
- Winkler, E., *Die lehre von elasticzitat and festigkeit (on elasticity and fixity)*, Prague, 182 p. (1867).
- Hetyenyi, M., *Beams on Elastic Foundations*, Univ. of Michigan Press, Ann Arbor (1946).
- Matlock, H. "Correlations for design of laterally loaded piles in soft clay", *Proc. of 2nd Annu. Offshore Technology Conf.*, Paper No. OTC 1204, Houston, Texas, pp. 577-594 (1970).
- Reese, L.C., Cox, W.R. and Koop, F.D. "Analysis of laterally loaded piles in sand", *Proc. of 6th Offshore Technology Conference*, Paper 2080, Houston, Texas, pp. 473-483 (1974).
- Reese, L.C. and Welch, R.C. "Lateral loading of deep foundation in stiff clay", *J. Geotech. Engrg. Div., ASCE*, **101**(7), pp. 633-649 (1975).
- Poulos, H.G. "Behavior of laterally loaded piles. I: Single piles", *J. Soil Mech. And Found. Div., ASCE*, **97**(5), pp. 711-731 (1971).
- Poulos, H.G. "Analysis of piles in soil undergoing lateral movement", *J. Soil Mech. and Found. Div., ASCE*, **99**(5), pp. 391-406 (1973).
- Fukushima, H., Nishimoto, S. and Tomisawa, K. "Coefficient of dynamic horizontal sub-grade reaction of pile foundations on problematic ground in Hokkaido", *Proc. of the Six International Conference on Physical Model-*

- ing in Geotechnics, Hong Kong, China, **1**, pp. 993-1000 (2006).
10. Chin, T.Y., Sew, G.S. and Chung, F.C. "Interpretation of sub-grade reaction from lateral load test on spun piles in soft ground", Association of Consulting Engineers Malaysia (ACEM) Conference and Exhibition on Bridge Engineering (2009).
 11. Ziaeimoayed, R. and Naeini, S.A. "Evaluation of sub-grade reaction (k_s) in gravelly soils based on SPT results", *Proc. of International Association for Engineering Geology (IAEG)*, Paper 505 (2006).
 12. Wiemann, J., Lensy, K. and Rickwien, W. "Evaluation of pile diameter effects on soil-pile stiffness", *Proc. of the 7th German Wind Energy Conference (DEWEK)*, Wilhelmshaven (2004).
 13. Terzaghi, K. "Evaluation of coefficients of sub-grade reaction", *Geotechnique*, **5**(4), pp. 297-326 (1955).
 14. Ling, L.F. "Back analysis of lateral load tests on piles", Report No.460, Civ. Engrg. Dept., University of Auckland (1988).
 15. Ashford, S.A. and Juirnarongrit, T. "Evaluation of pile diameter effect on initial modulus of sub-grade reaction", *Journal of Geotechnical and Geoenvironmental Engineering, ASCE*, **129**(3), p. 234-242 (2003).
 16. Popescu, R., Deodatis, G. and Nobahar, A. "Effects of random heterogeneity of soil properties on bearing capacity", *Probabilistic Engineering Mechanics*, **20**(4), pp. 324-341 (2005).
 17. Vesic, A.S. "Beam on elastic sub-grade and the Winkler hypothesis", *Proc. of 5th Int. Conf. Soil Mech. and Found. Engrg.*, Paris, **1**, pp. 845-850 (1961).
 18. Parvaei Latleili , Y. " Evaluation of influence of pile diameter on horizontal coefficient of subgrade reaction under static lateral loading", MSc Thesis , University of Guilan, (In Persain) (2011).
 19. Torani Sama,S. " Evaluation of influence of foundation dimensions on horizontal coefficient of subgrade " , MSc Thesis, University of Guilan, (In Persain) (2011).